

20/07 (1. 19)

Pierwotne rozpoznanie: Kardiomiopatia przerostowa

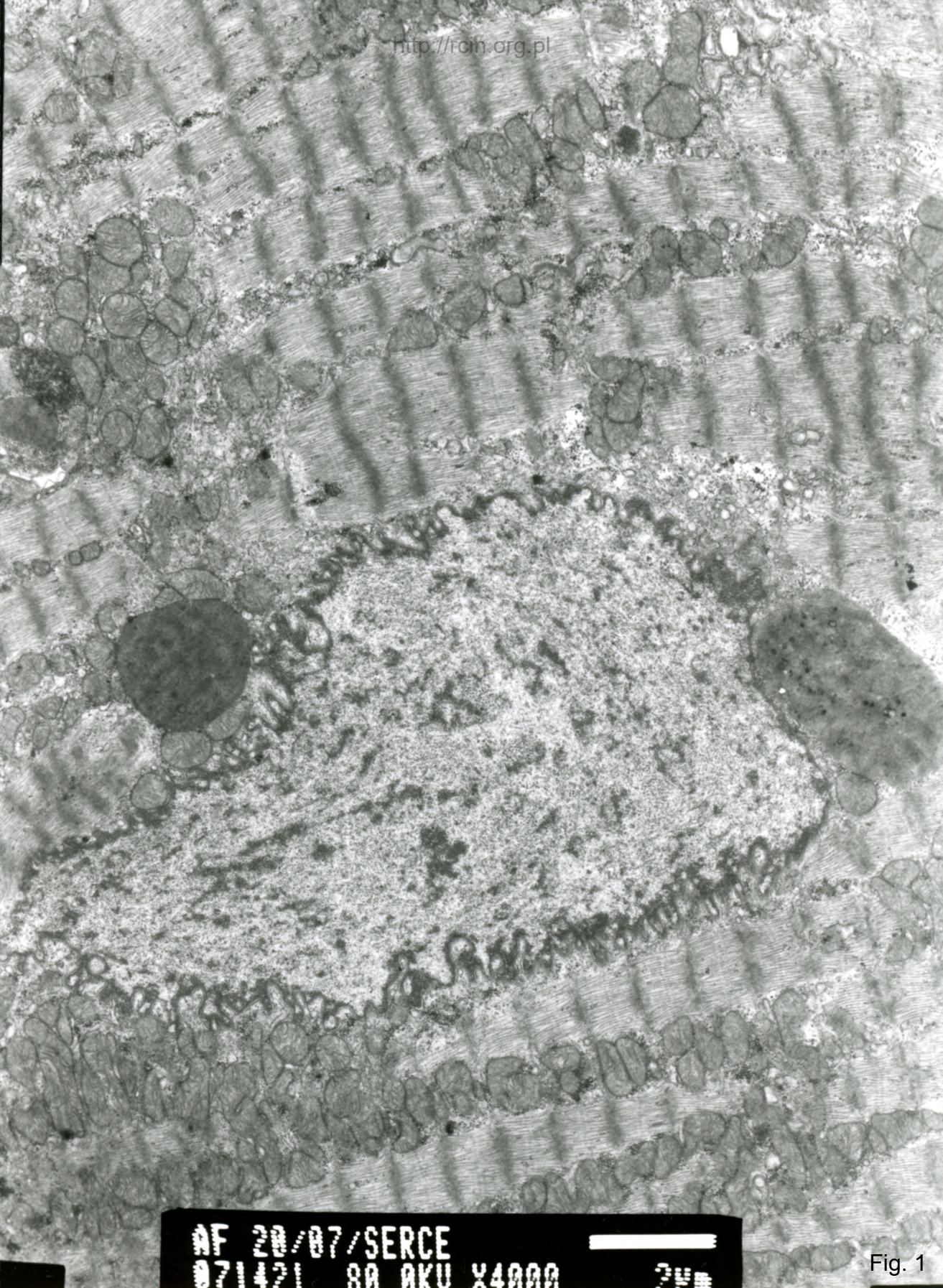
Ocena mikroskopowo-elektronowa pozwoliła zdiagnozować Chorobę Danona

Analiza ultrastrukturalna wykazała liczne zmiany w badanym materiale. Jedynie w nielicznych kardiomiocytach obserwowano prawidłowy układ sarkomerów (Fig. 1, 2). W pozostałych kardiomiocytach przebieg miofibrilli był zaburzony, a w cytoplazmie obecne były liczne struktury autofagalne (Fig. 3-21). Licznie występowały również obłonione struktury wypełnione ziarnami glikogenu (Fig. 22-25).

Primary diagnosis: Hypertrophic cardiomyopathy

The electron microscopy analysis led to the diagnosis of Danon's disease

Ultrastructural analysis revealed numerous pathological changes in the biopsy. Only in a few cardiomyocytes unchanged sarcomere pattern was observed (Figs. 1, 2). In the rest cardiomyocytes the course of myofibrils was disturbed and many autophagous vacuoles were present in the cytoplasm (Figs 3-21). Numerous membrane-surrounded structures filled with glycogen granules were observed (Figs. 22-25).

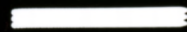


AF 20/07/SERCE  
071421 80 AKU X4000 2µm

Fig. 1

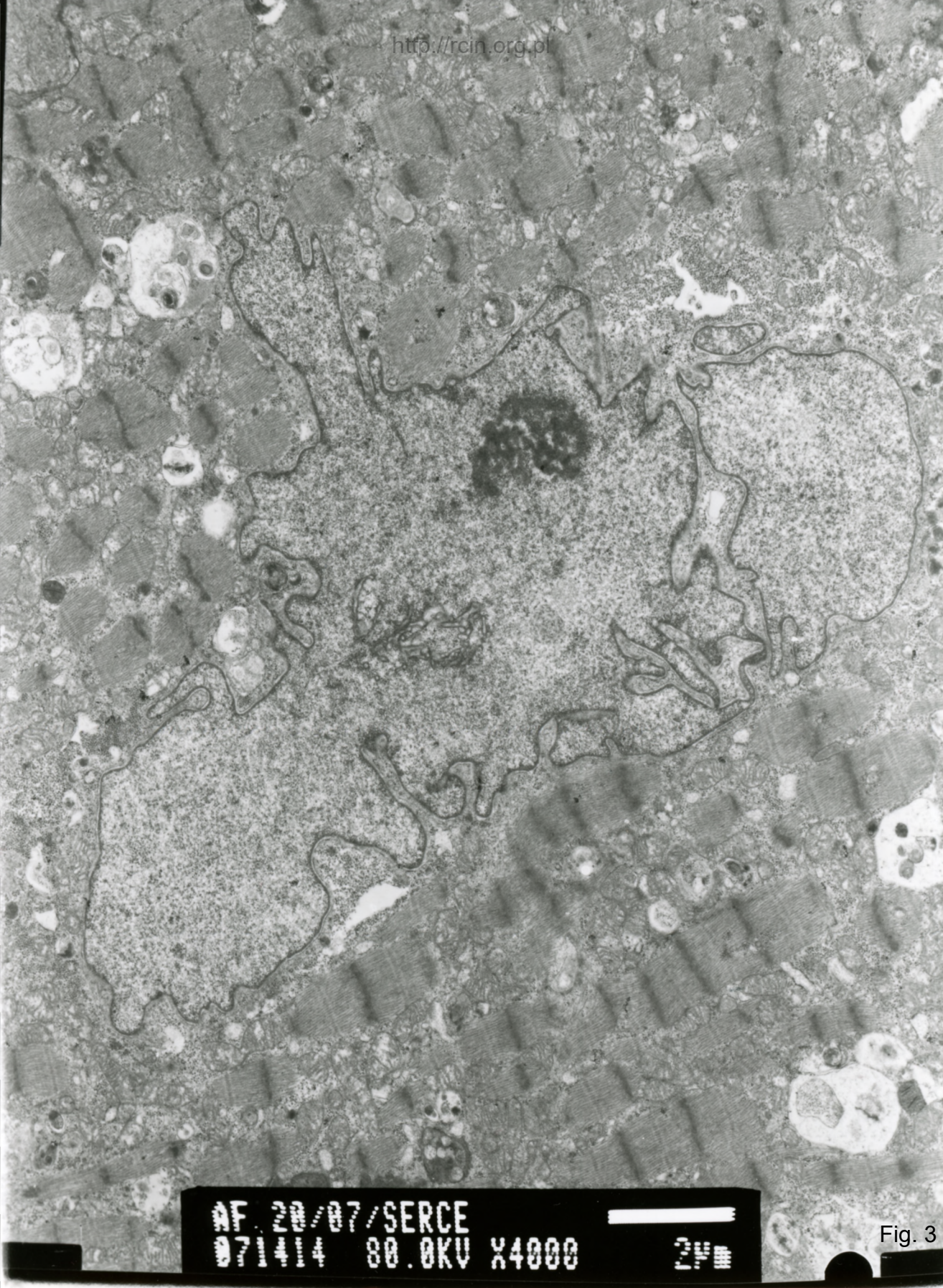


AF 20/07/SERCE  
071419 80.0KV X4000



2µm

Fig. 2

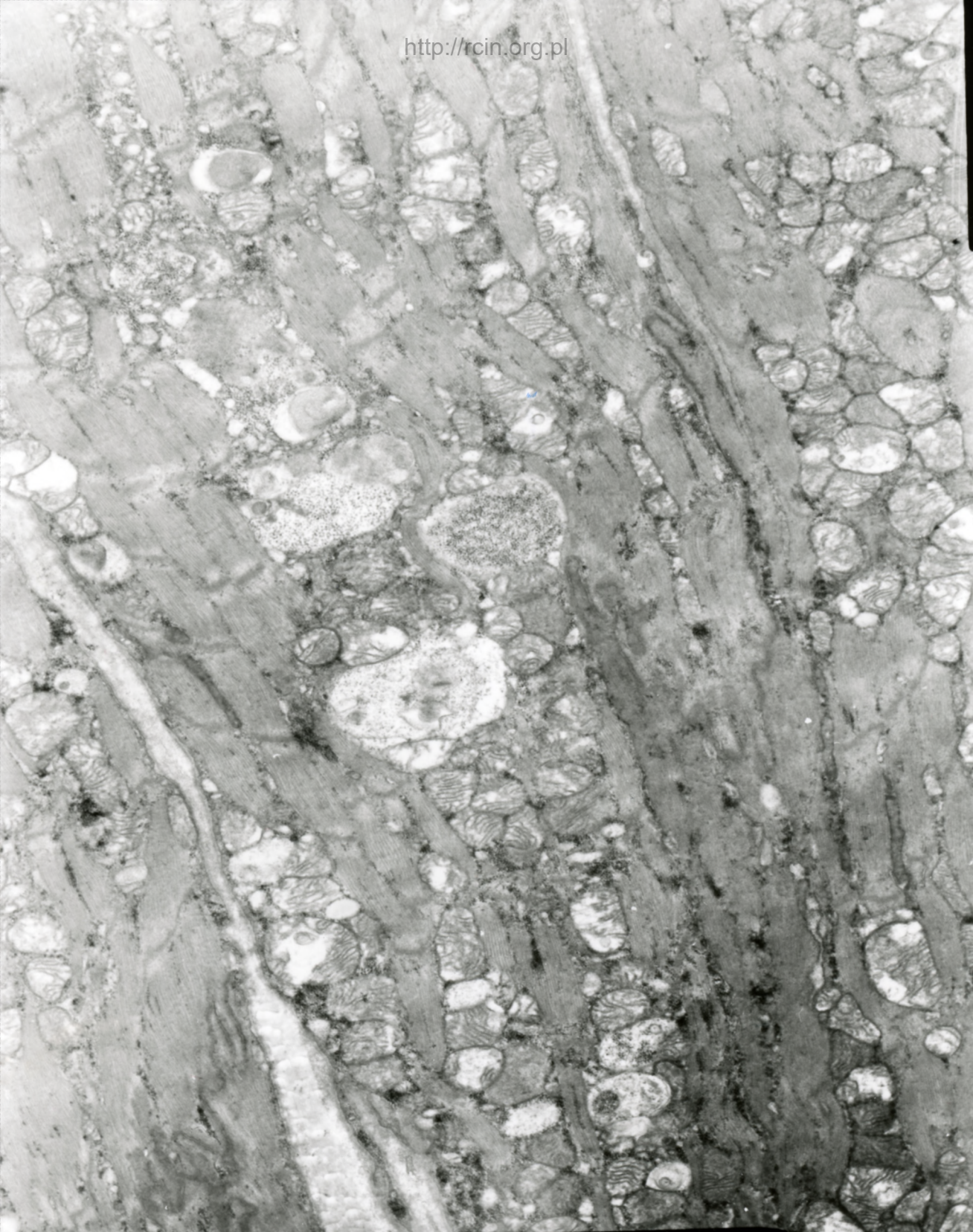


AF 20/07/SERCE  
071414 80.0KV X4000



2µm

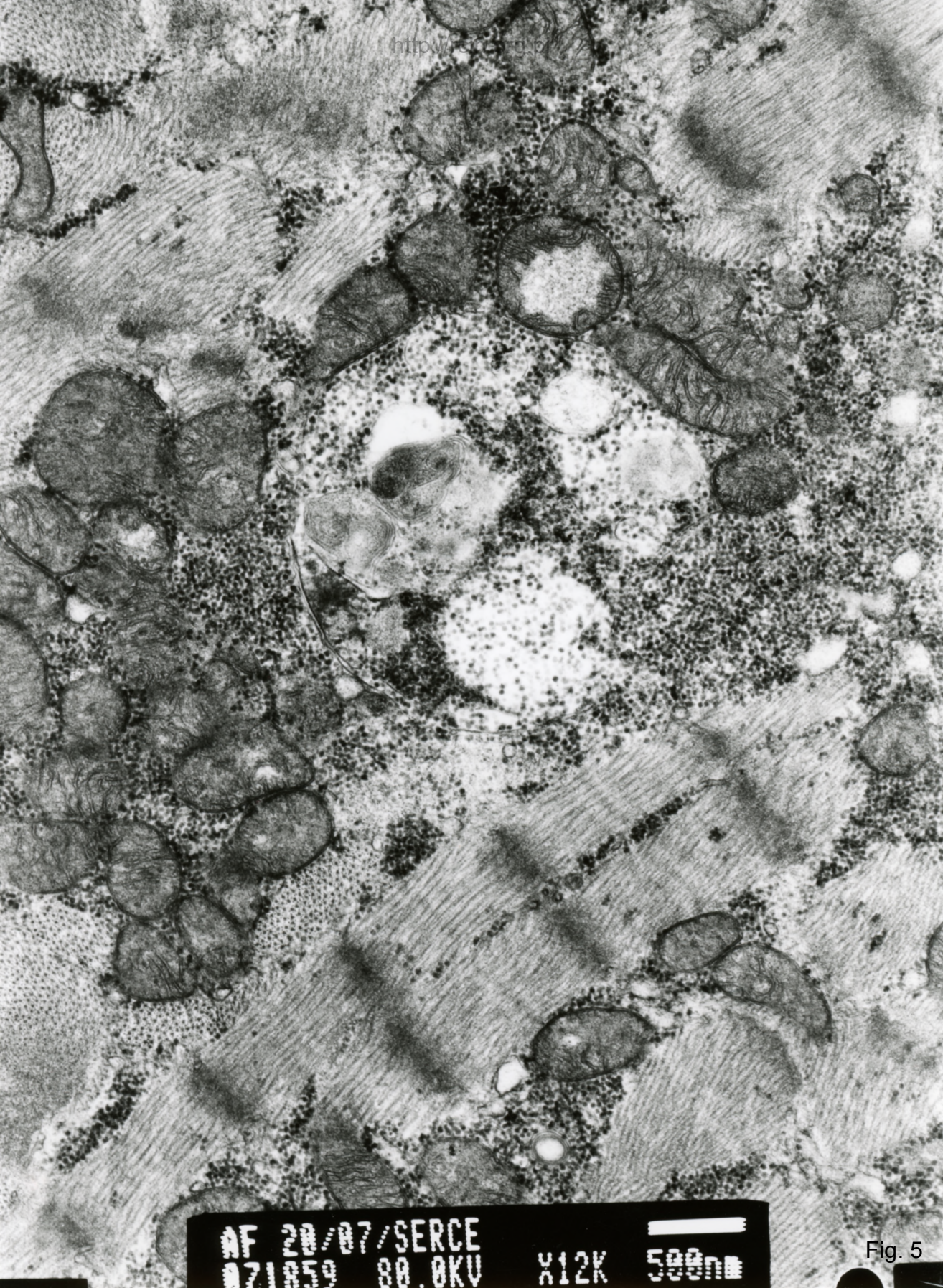
Fig. 3



AF 20/07/SERCE  
071352 80.0KV X5000

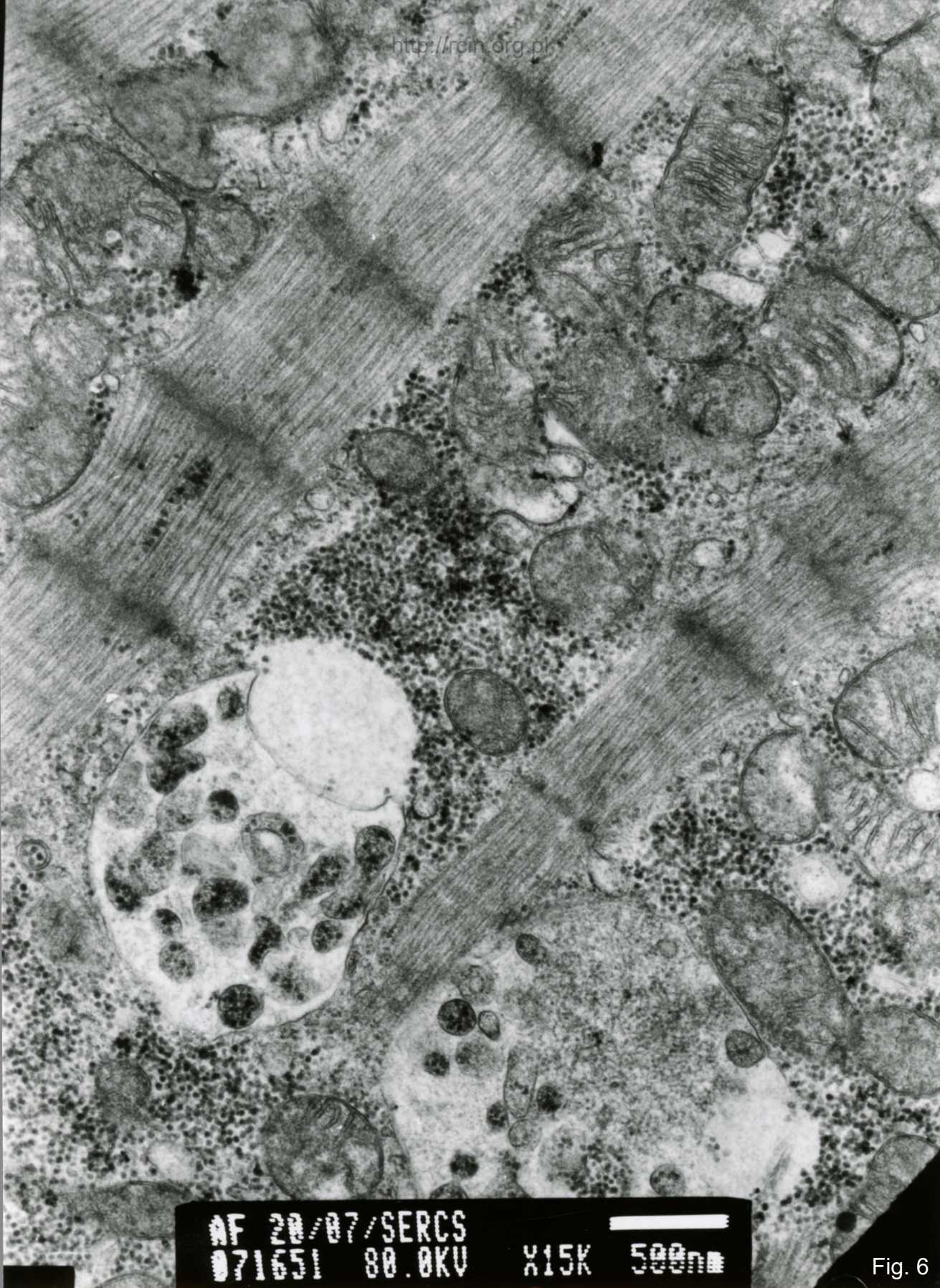


Fig. 4



AF 20/07/SERCE  
071859 80.0KV X12K 500nm

Fig. 5

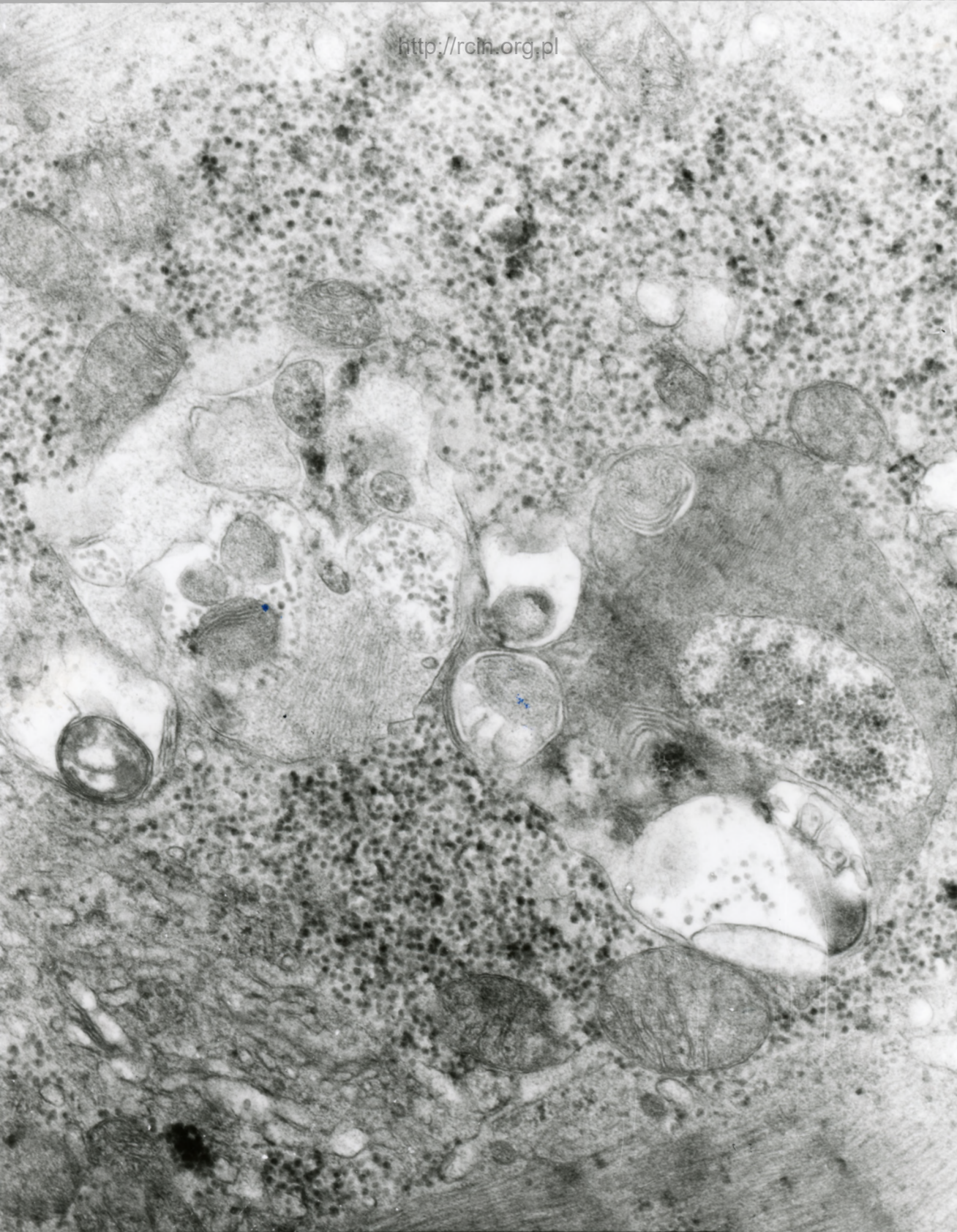


AF 20/07/SERCS  
071651 80.0KV

X15K

500nm

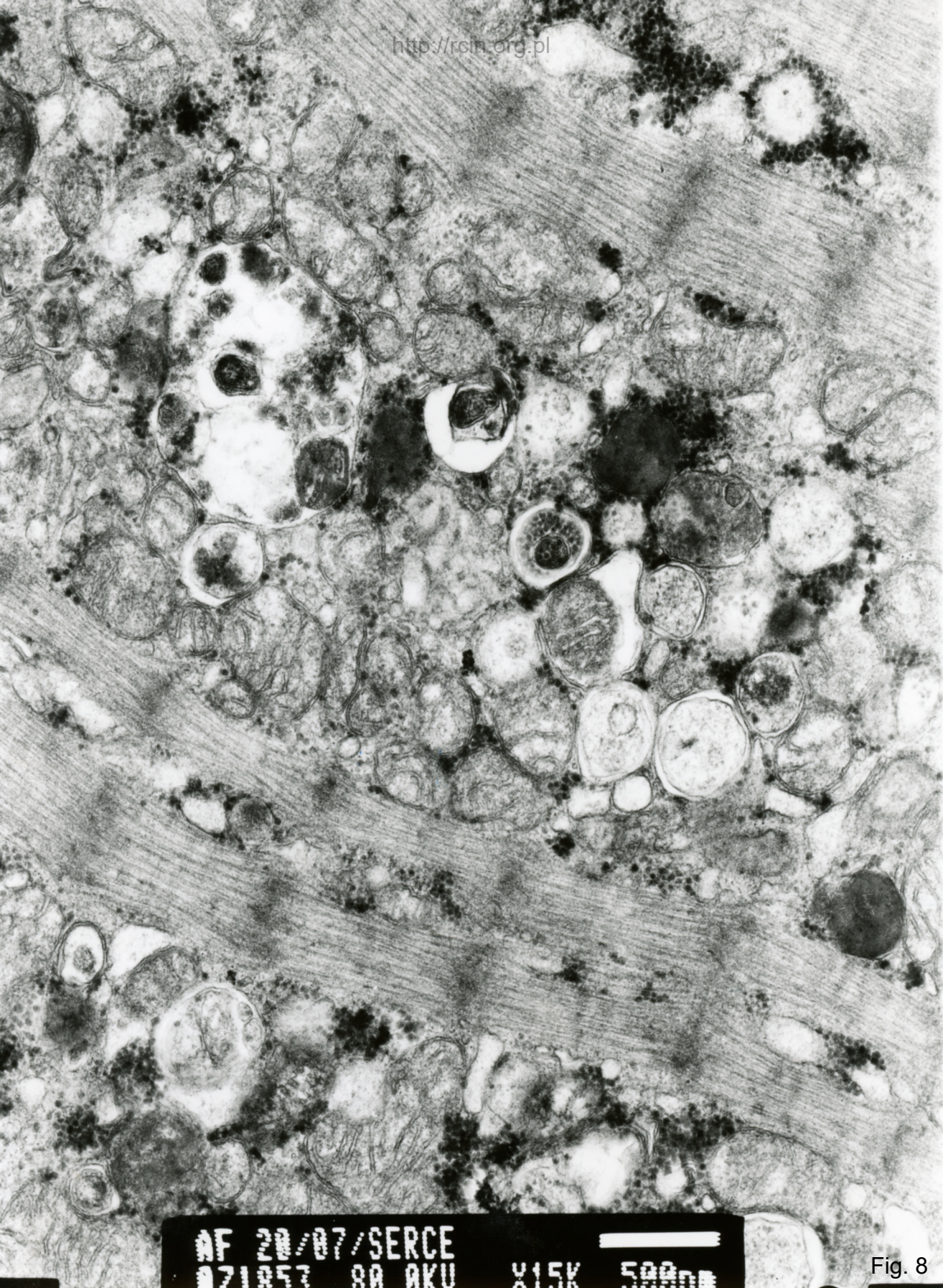
Fig. 6



AF 20/07/SERCE  
071347 80.0KV X15K 500nm

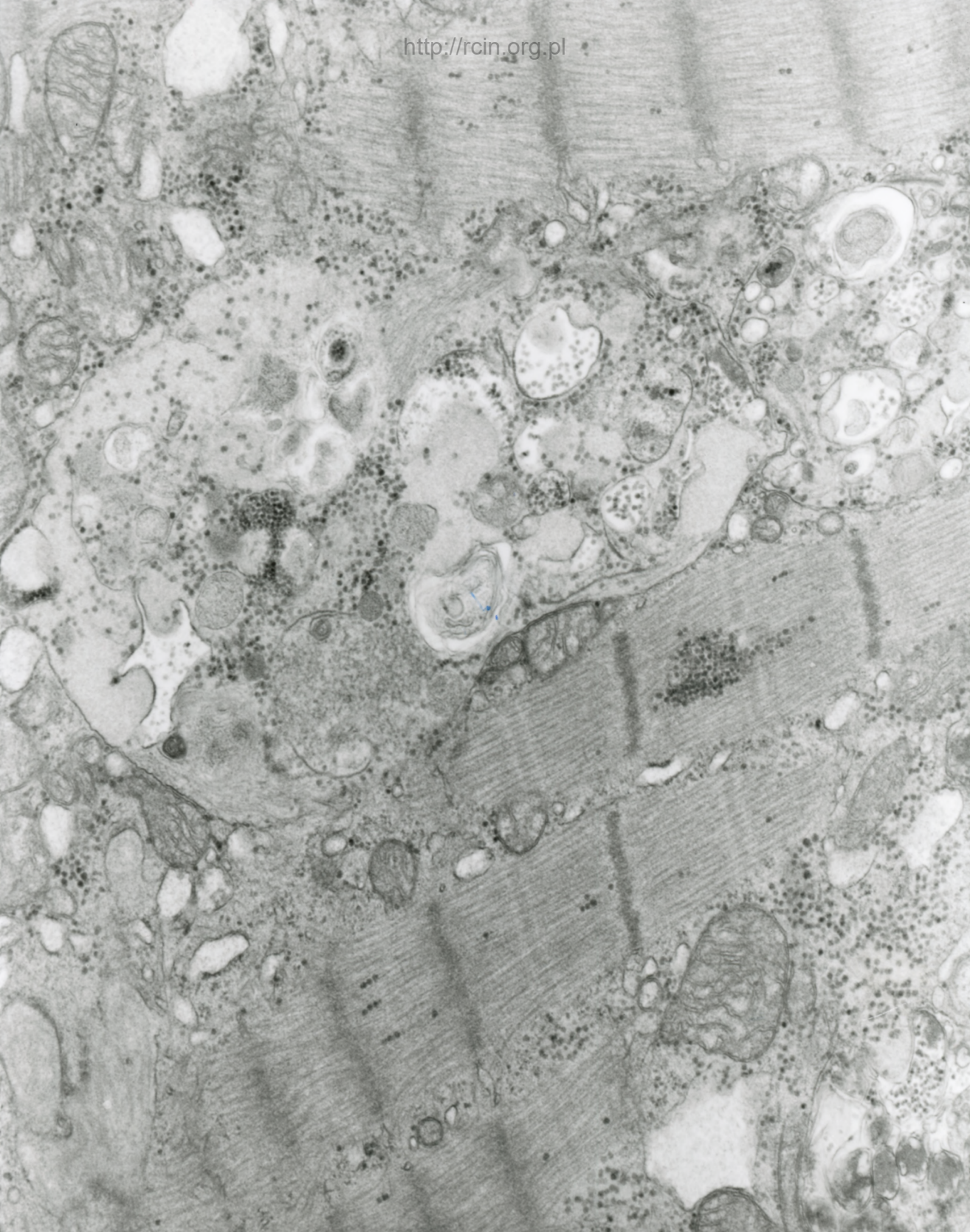
Fig. 7





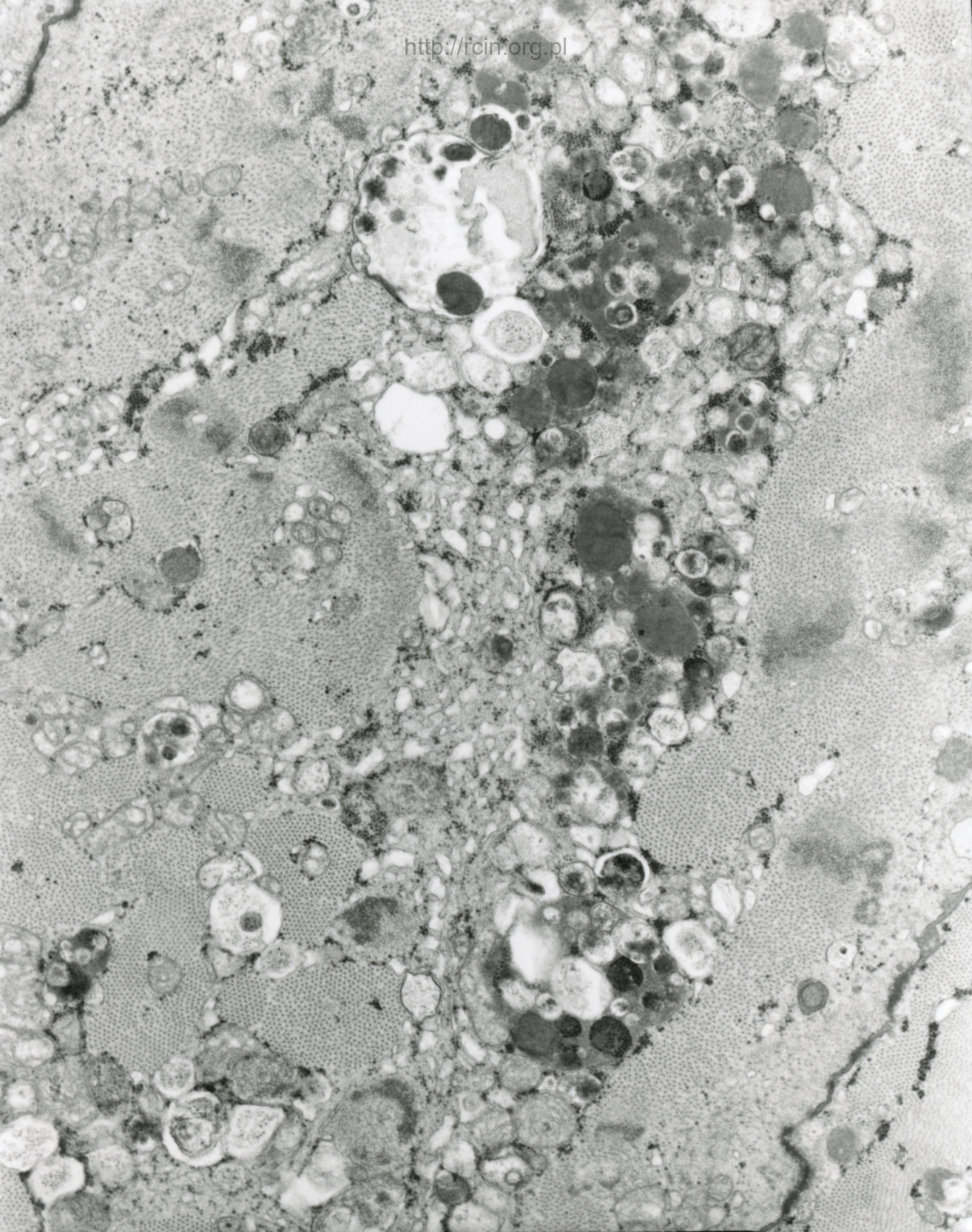
AF 20/07/SERCE  
071857 80 AKU X15K 500nm

Fig. 8



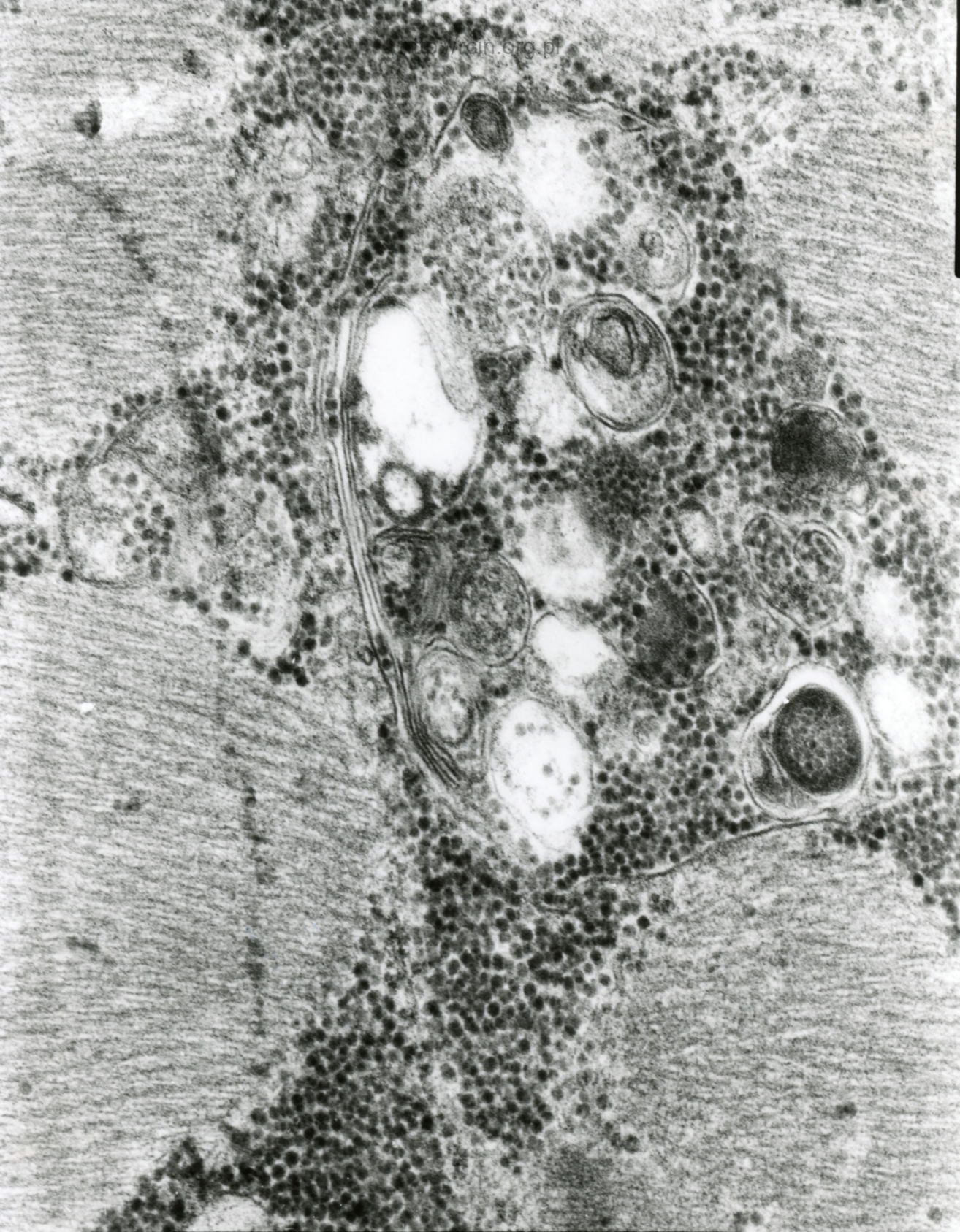
AF 20/07/F/  
075021 RA AKU X12K 50

Fig. 9



AF 20/07/F/  
075017 80.0KV X7500

Fig.10



AF 27/07/MIESIEN

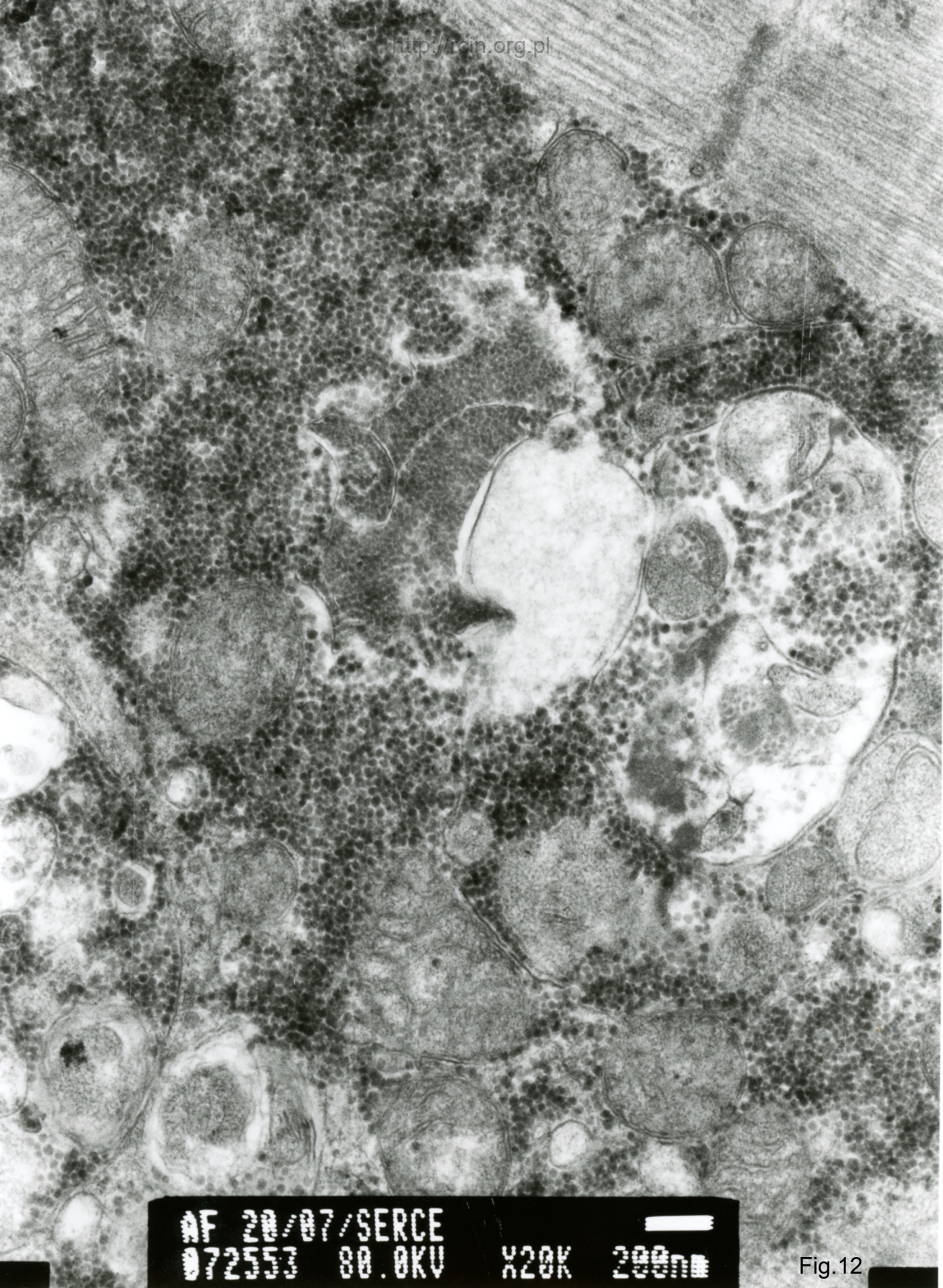
071864

80.0KV

X30K

200nm

Fig.11

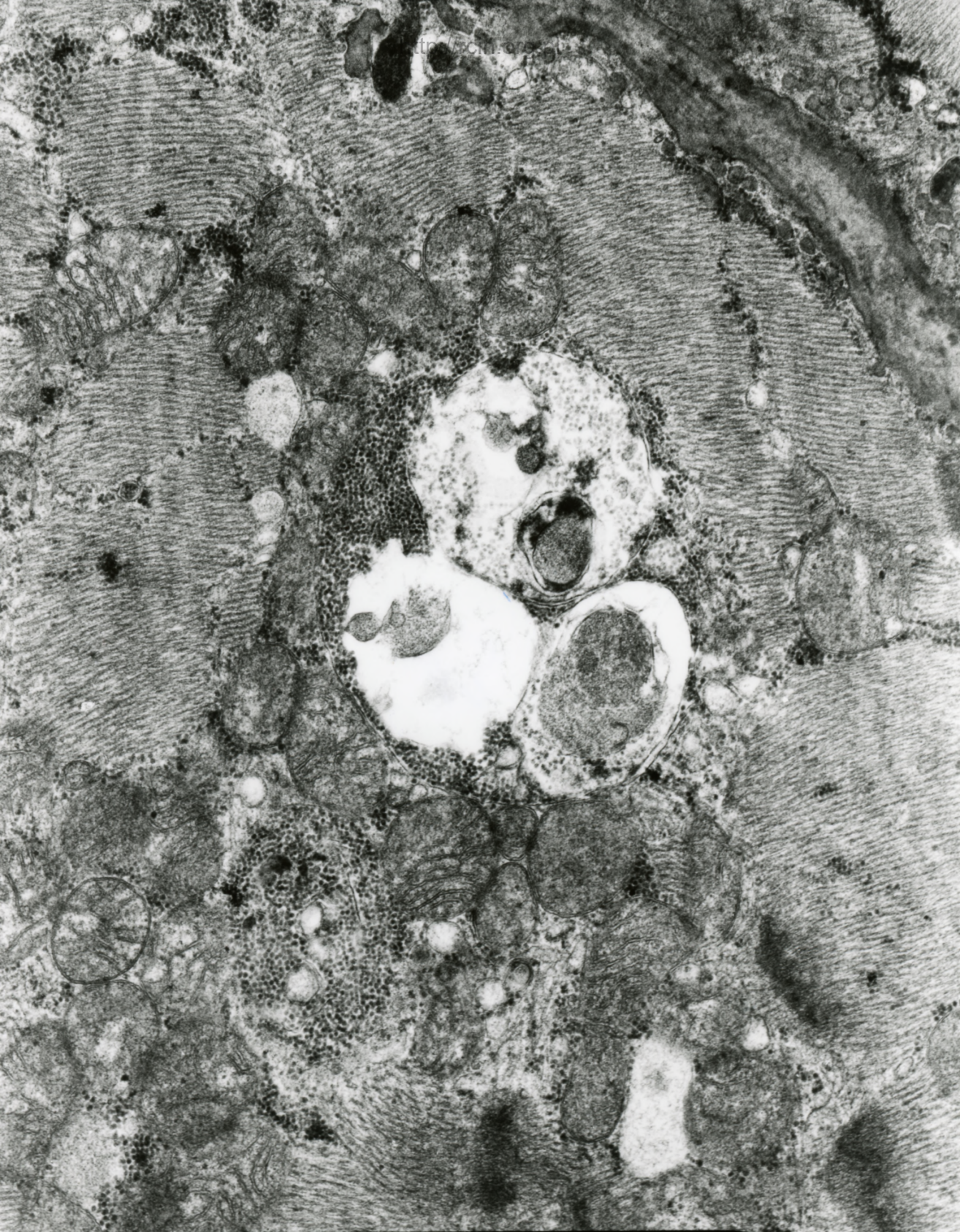


AF 20/07/SERCE  
072553 80.0KV

X20K

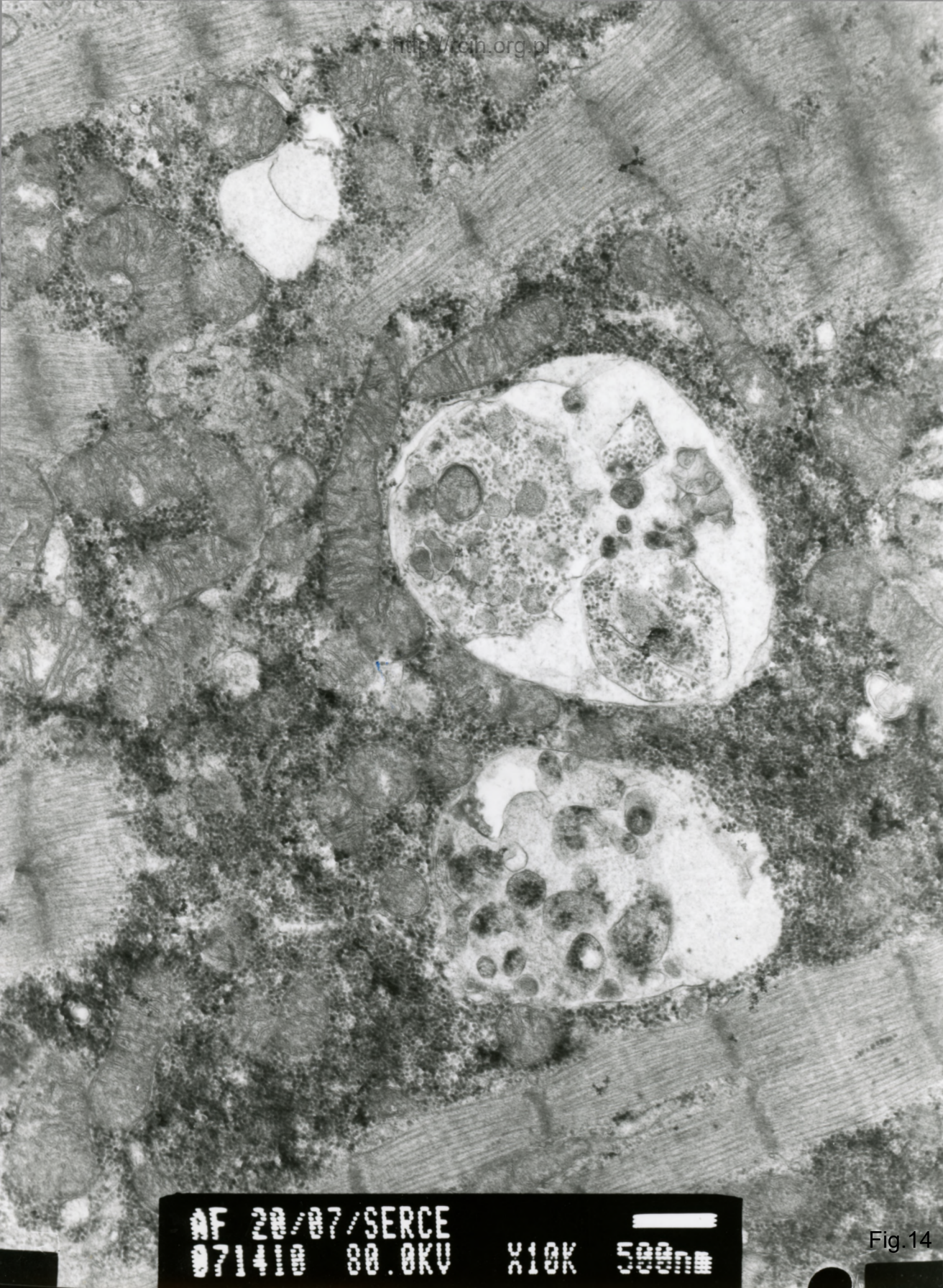
200nm

Fig.12



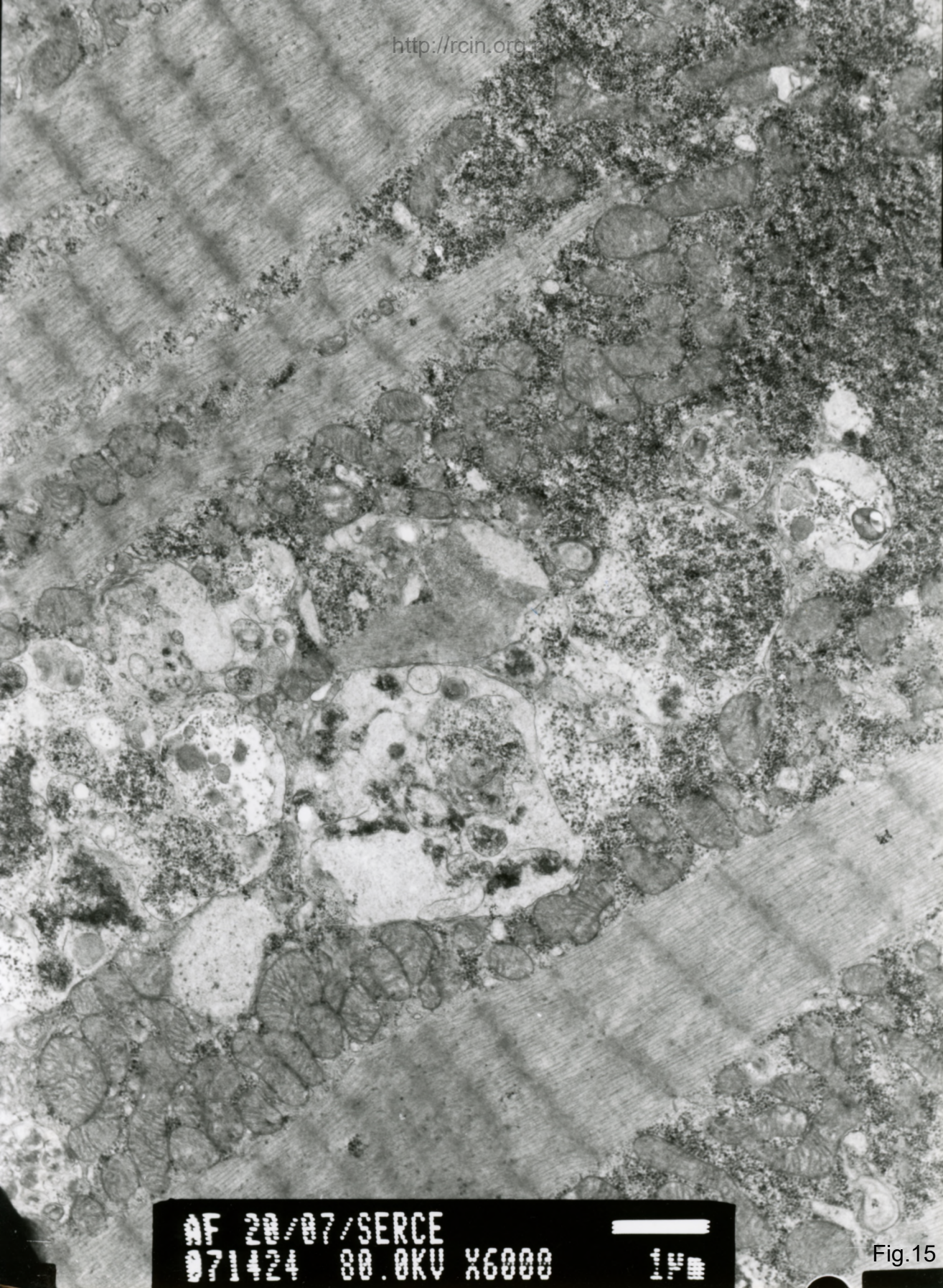
AF 20/07/SERCE  
071855 80.0KV X12K 500nm

Fig.13

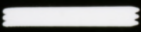


AF 20/07/SERCE  
071410 80.0KV X10K 500nm

Fig.14



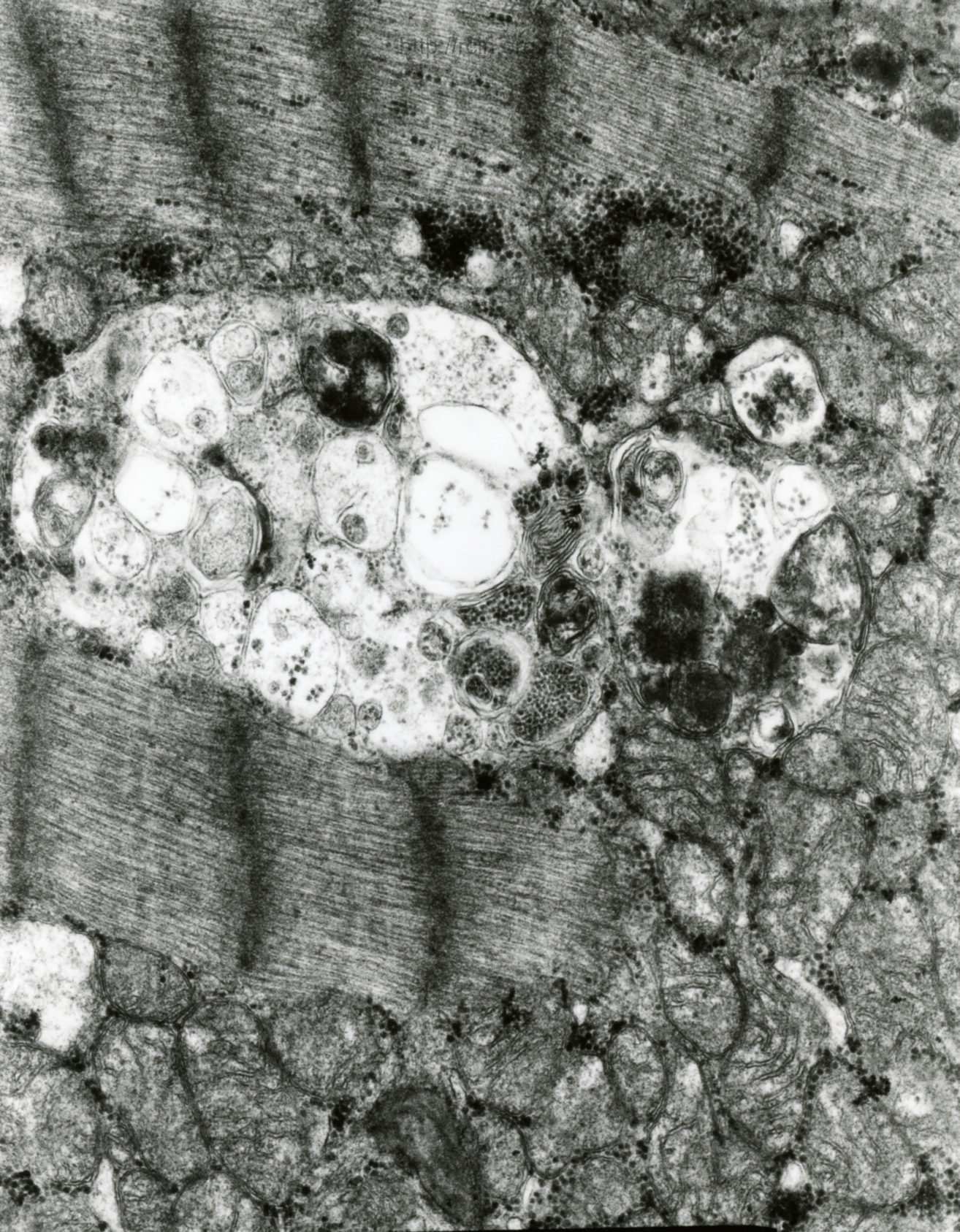
AF 20/07/SERCE  
071424 80.0KV X6000



1µm

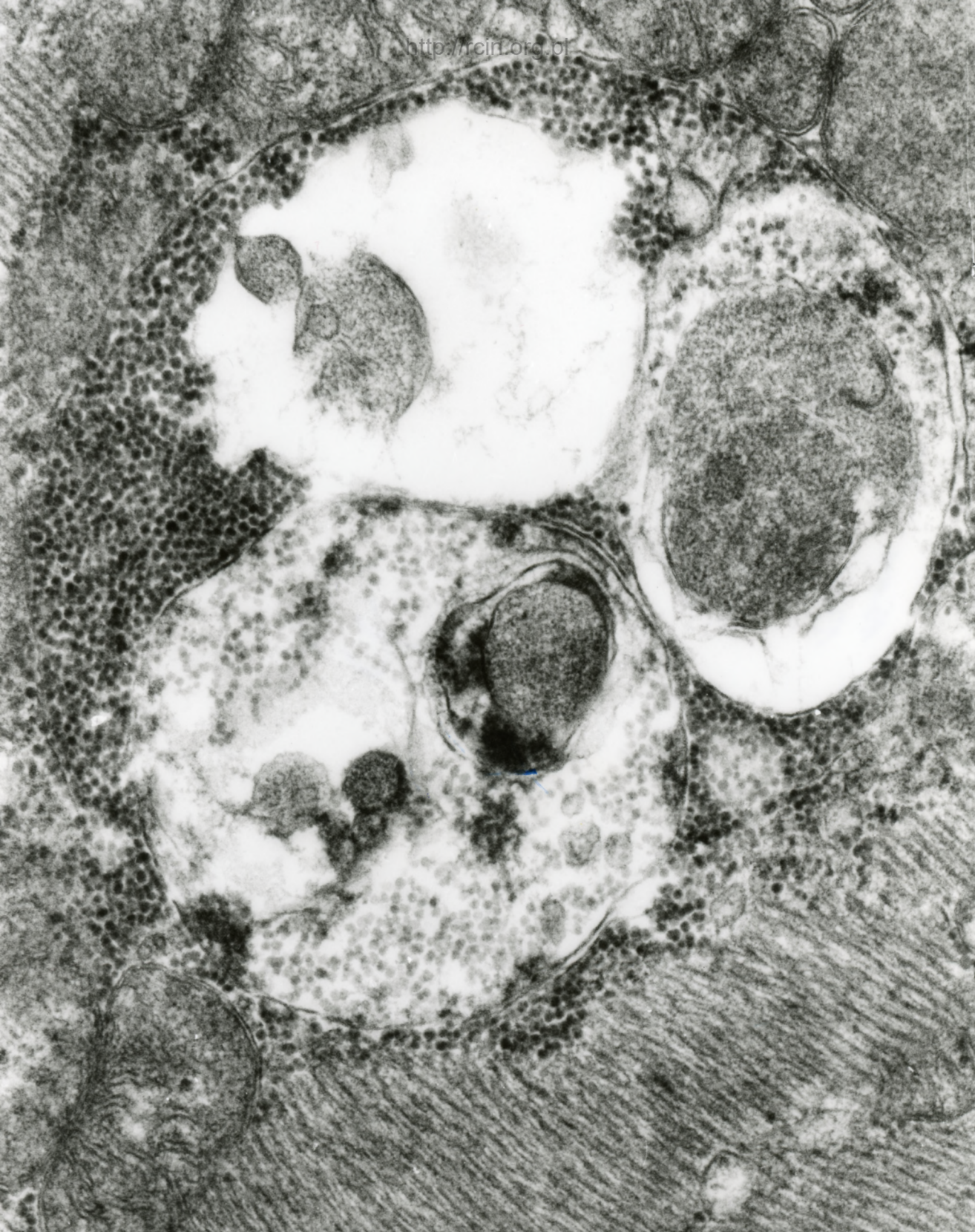
Fig.15





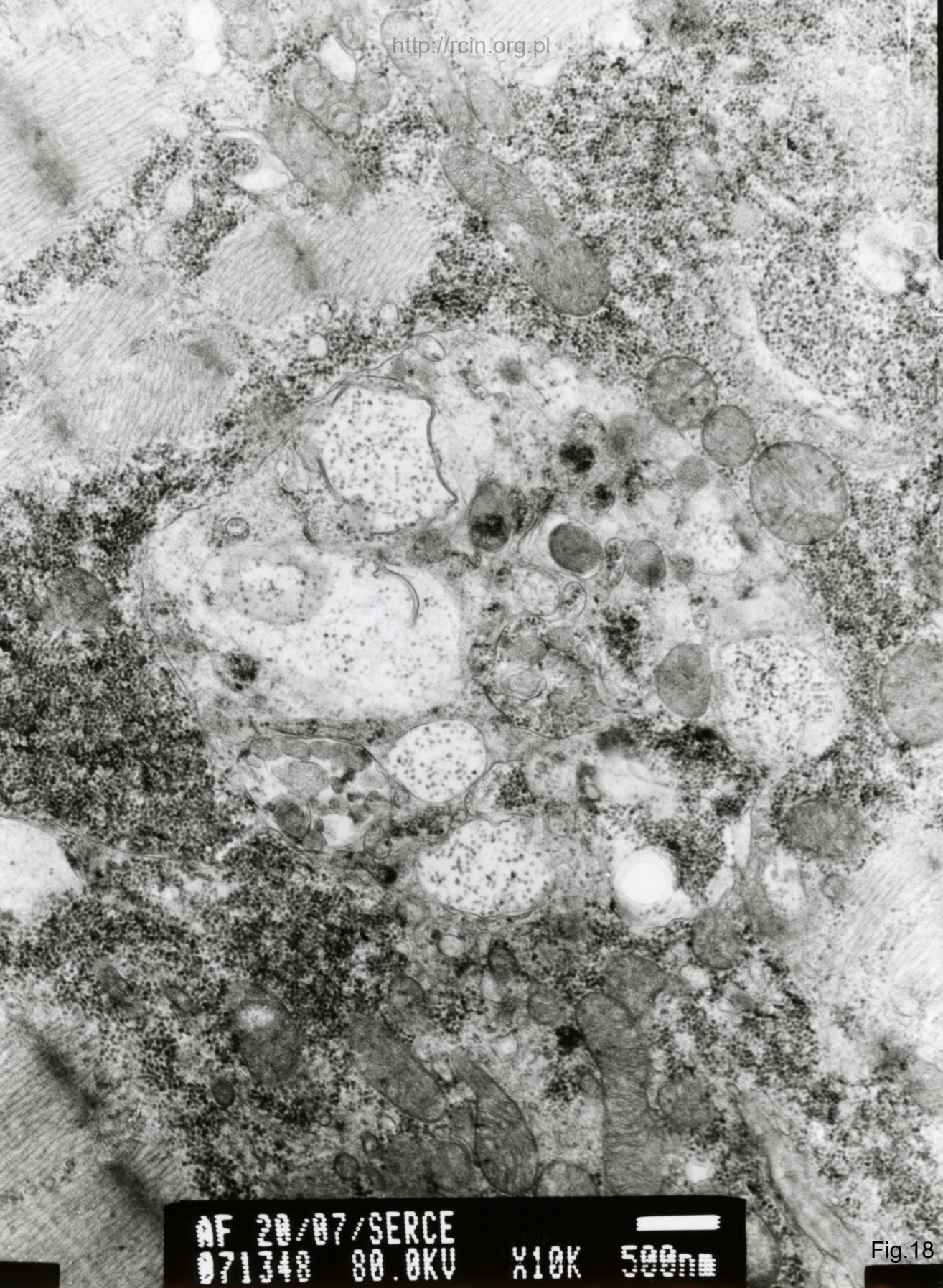
AF 20/07/SERCE  
072560 80 AKU X15K 500nm

Fig.16



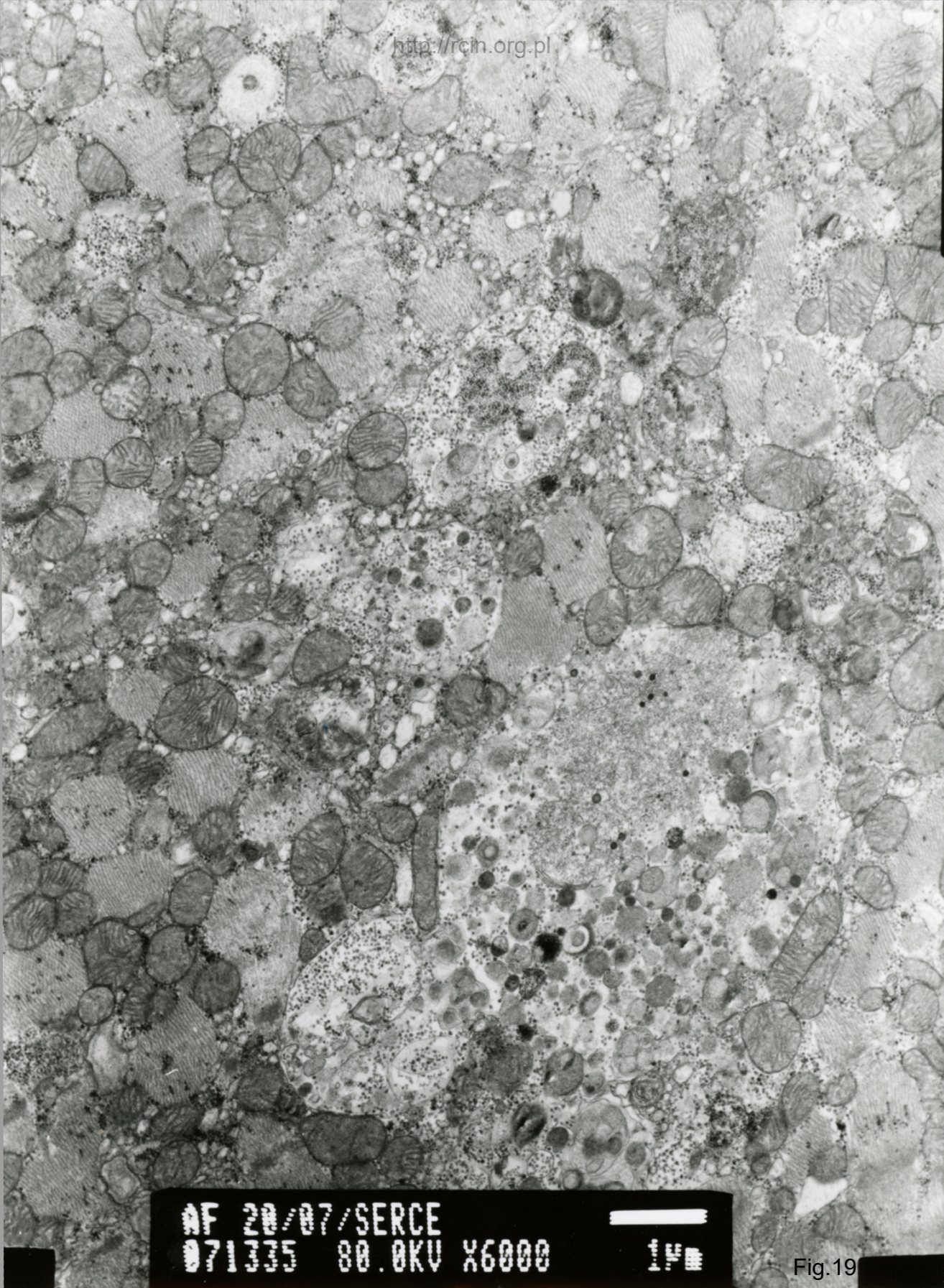
AF 20/07/SERCE  
072360 80.0KV X25K 200nm

Fig.17

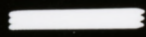


AF 20/07/SERCE  
071348 80.0KV X10K 500nm

Fig.18

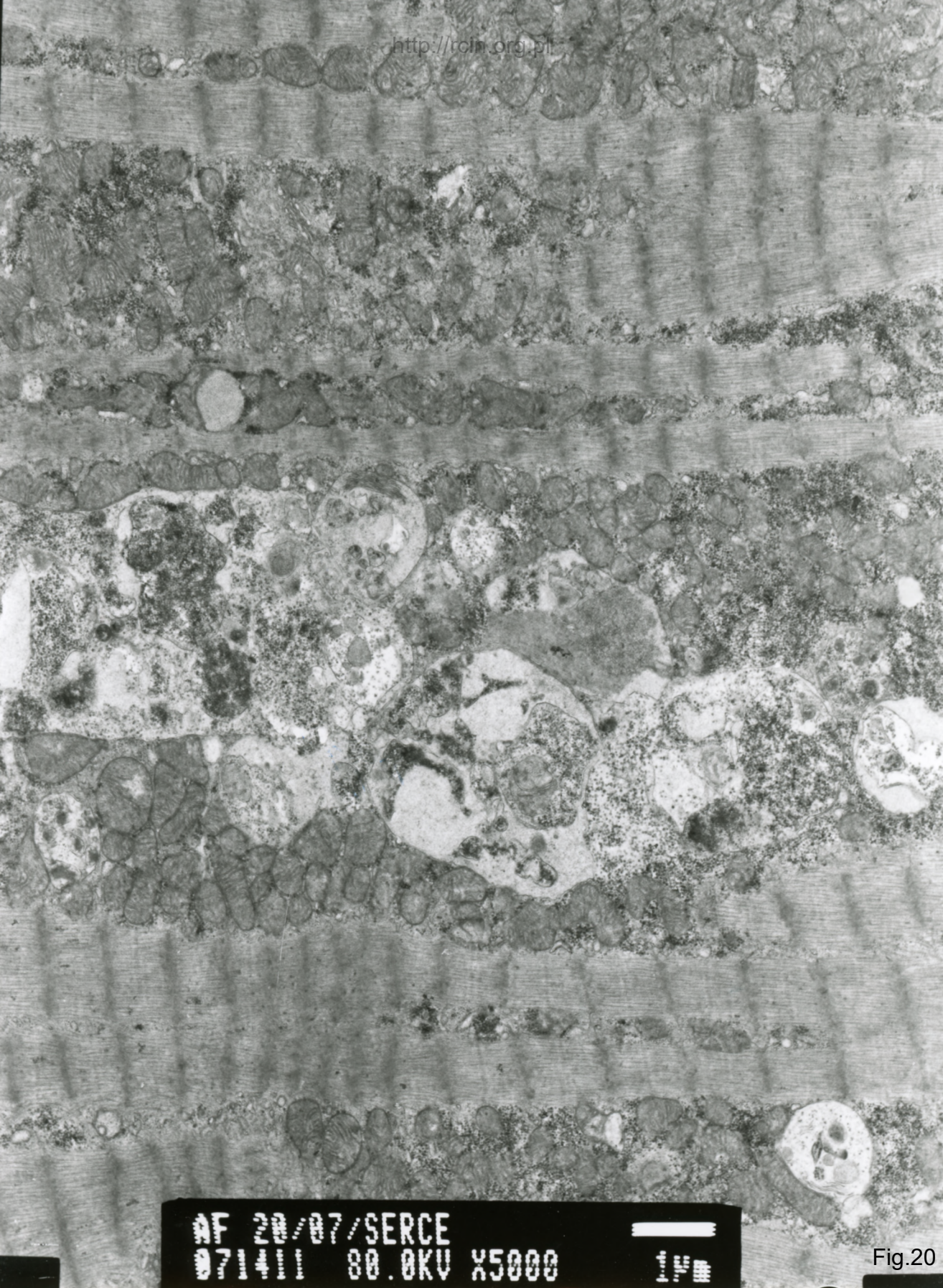


AF 20/07/SERCE  
071335 80.0KV X6000



1µm

Fig.19



AF 20/07/SERCE  
071411 80.0KV X5000 14

Fig.20



AF 20/07/SERCS  
071000 80.0KV X6000

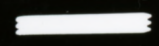
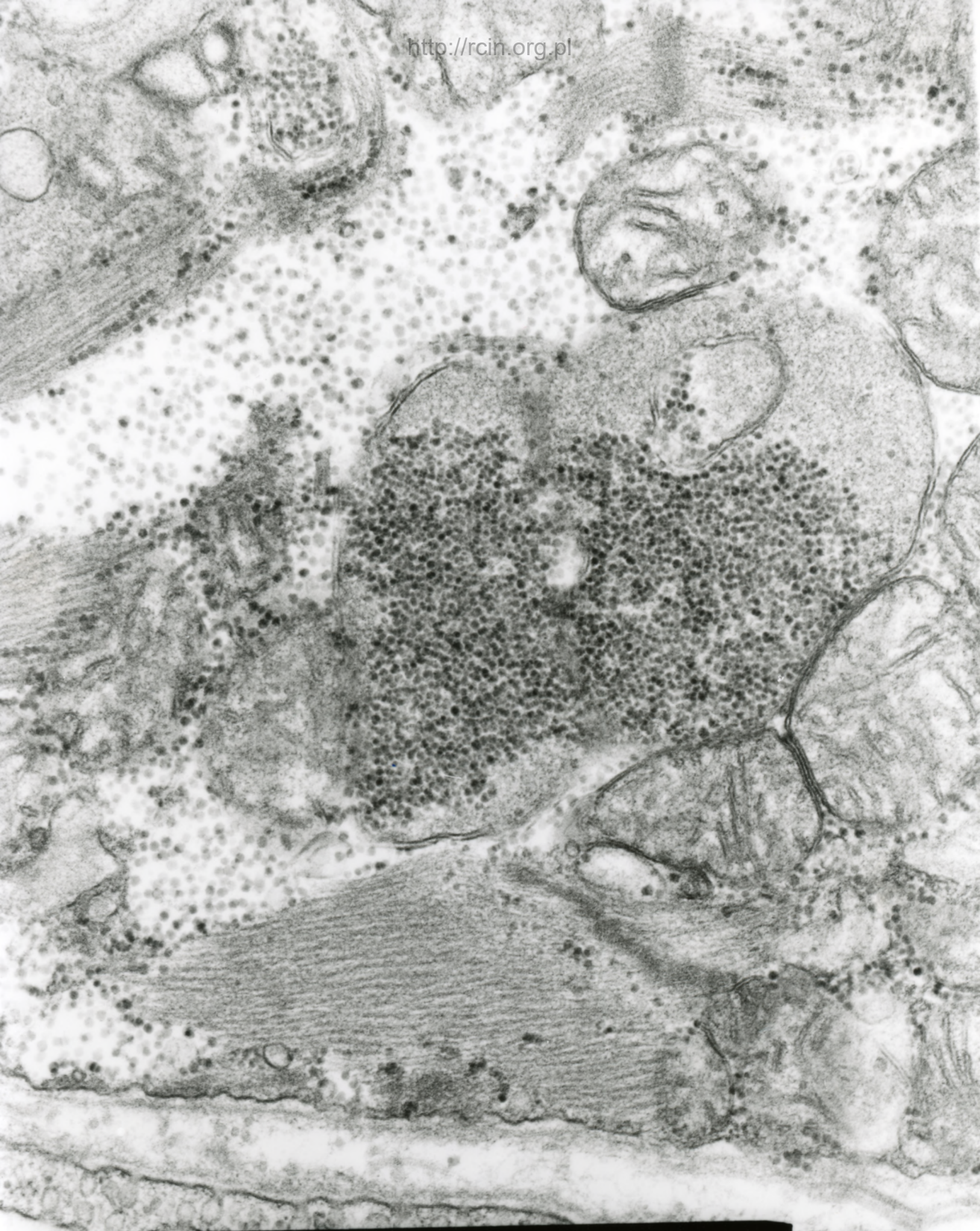
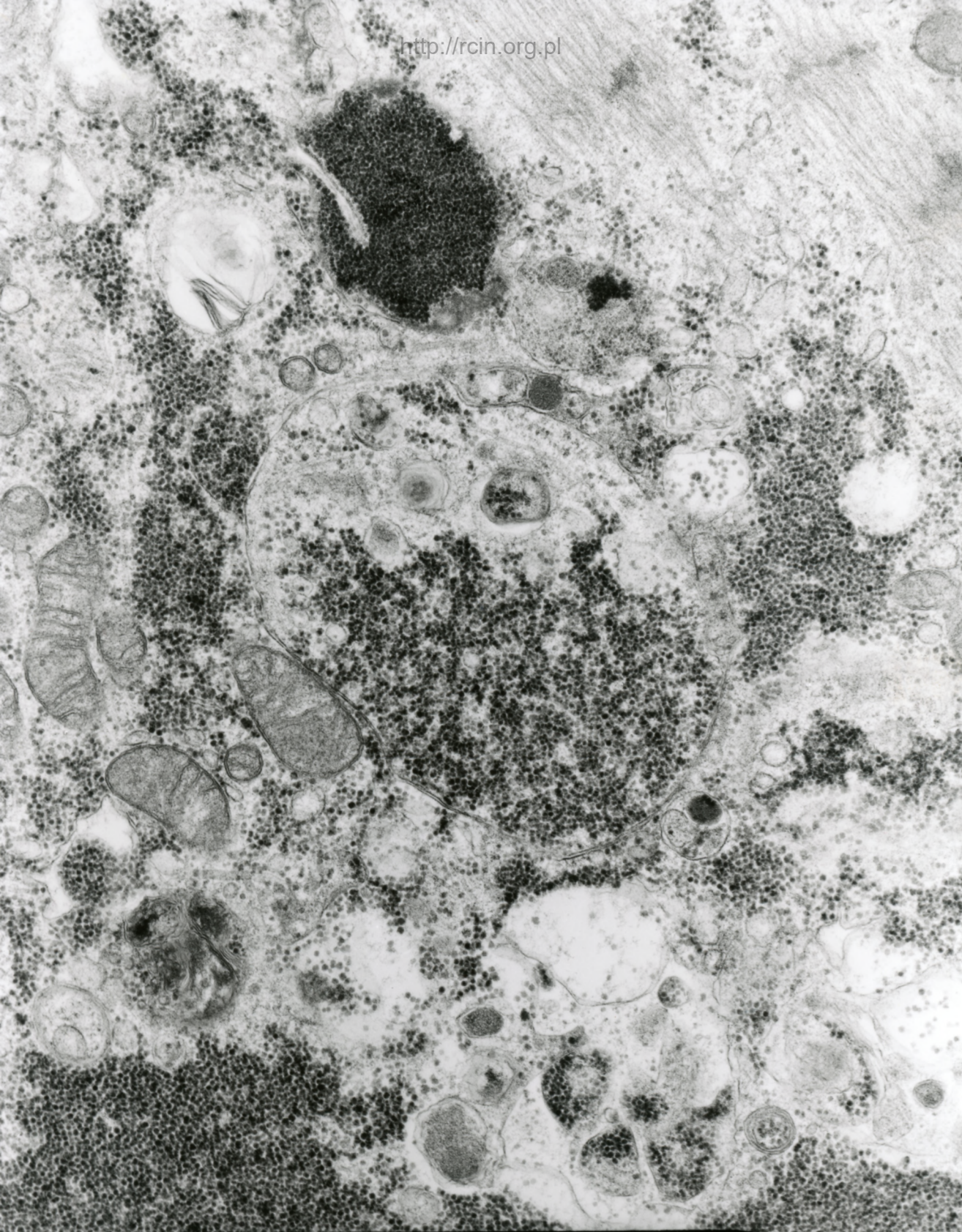


Fig.21



AF 20/07/F/  
075015 80.0KV X20K 200-

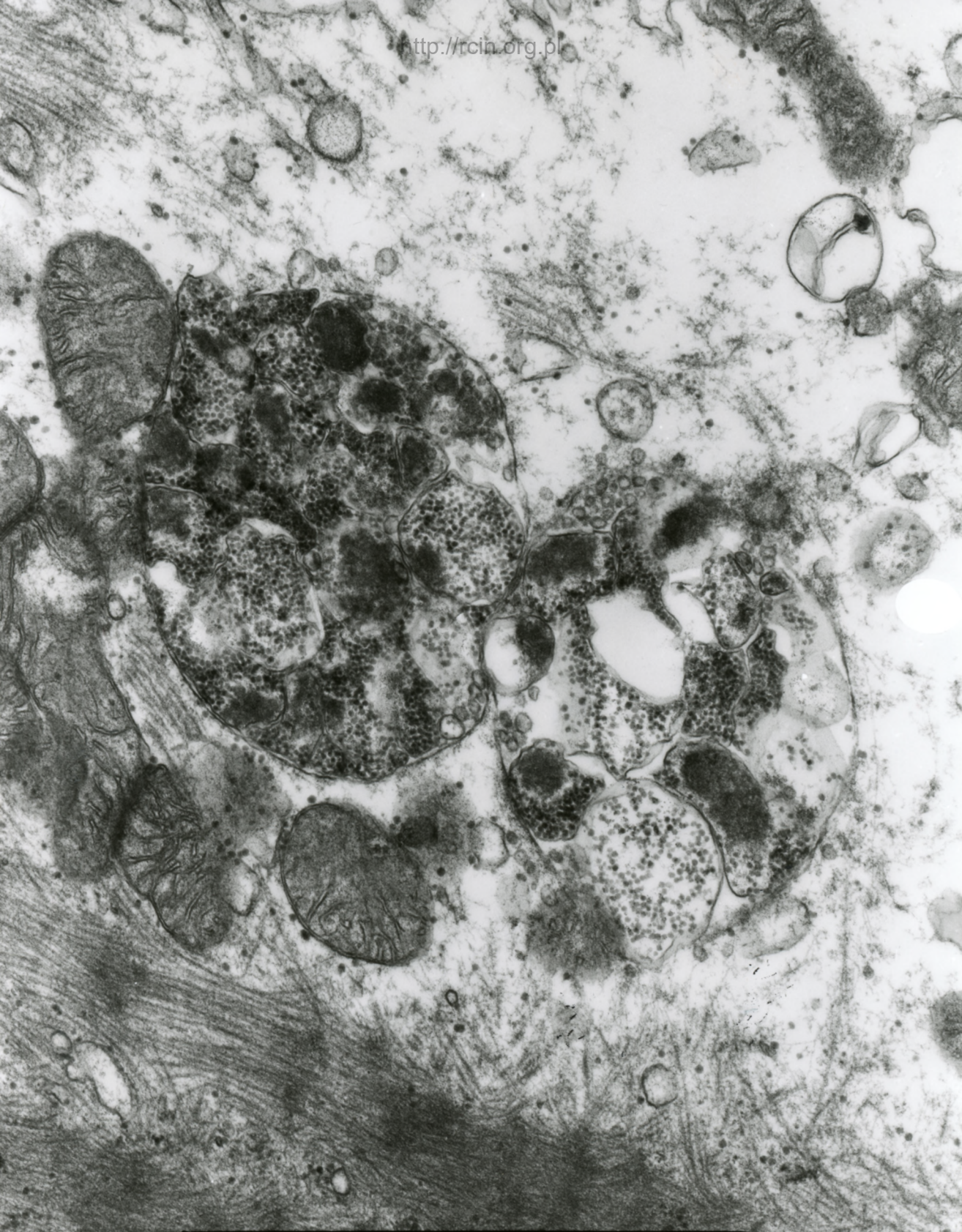
Fig.22



AF 20/07/F/  
075020 80 AKU X12K 50

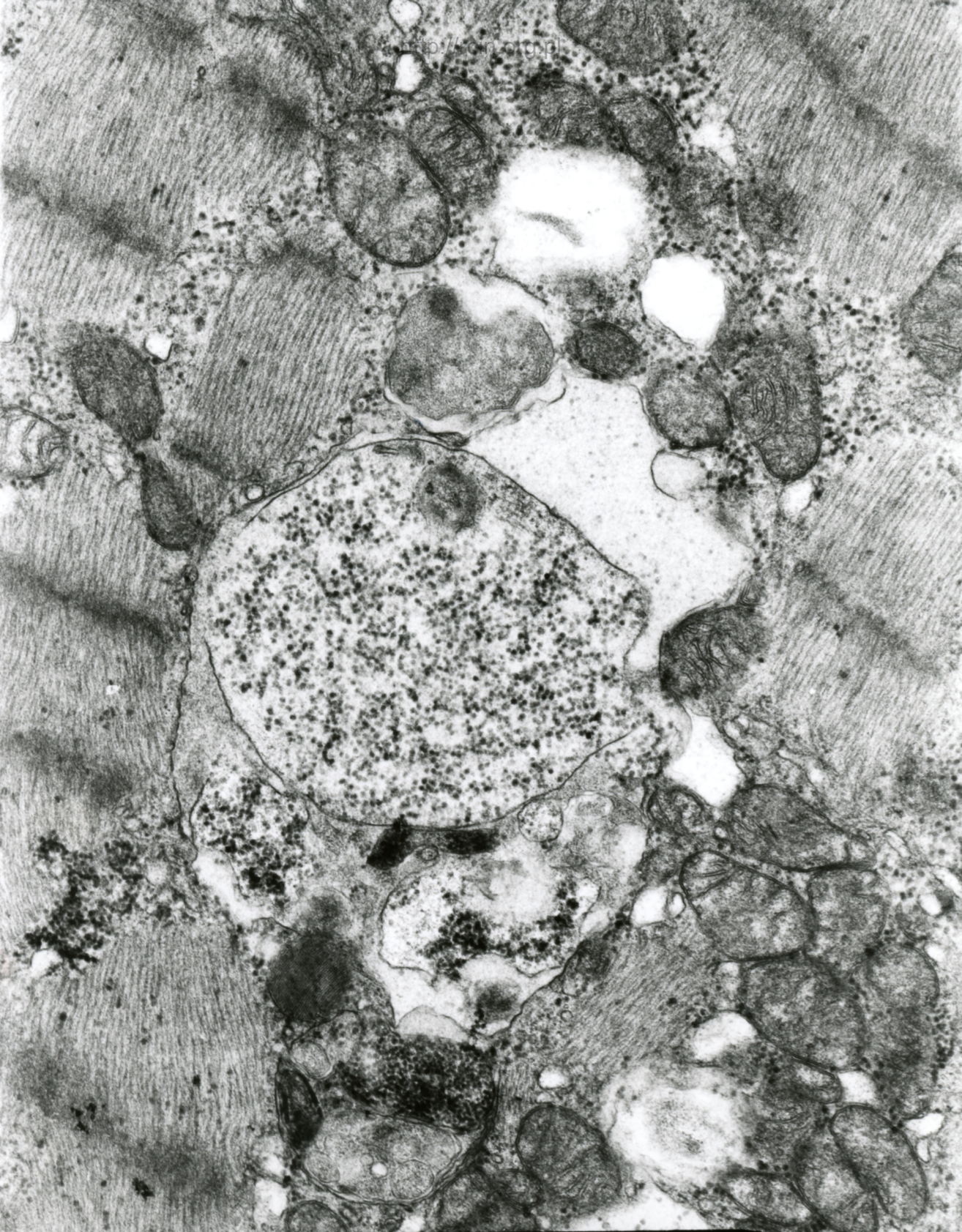
Fig.23





AF 20/07/SERCE  
072550 80.0KV X15K 500nm

Fig.24



AF 20/07/SERCE  
071862 80.0KV X12K 500nm

Fig.25